

# 凸优化大作业

计73 陈海天 2016010106  
计75 李阳崑 2017011235

## 凸优化大作业

### 第1题

- (a)
  - (a.1) 随机生成数据
  - (a.2) shift\_of\_Ricker数据
  - (a.3) DOTmark数据集
- (b)
  - (b.1) ADMM算法实现
    - 理论推导
    - 具体实现
    - GPU加速
  - (b.2) 实验设置
  - (b.3) 随机生成数据
  - (b.4) shift\_of\_Ricker数据
  - (b.5) DOTmark数据集

### 第2题

- (a) 问题描述
- (b) 实现算法

## 第1题

### (a)

(a) Solving (1) by calling mosek and gurobi **directly** in Matlab or python. The package “CVX” is **not allowed** to use here. Compare the performance between the simplex methods and interior point methods.

### (a.1) 随机生成数据

运行 `generate_random_data.py` 生成随机的  $C, \mu, \nu$  , 再运行 `gurobi_computeEMD.py` 得到结果。  
gurobi中三种方法的运行结果如下 (  $C, \mu, \nu$  在 `random_data` 文件夹下, 与老师所给的 `test_data` 格式保持一致) :

	CPU time (s)	iters	result
primal simplex	0.00	31	2.406049817e+00
dual simplex	0.00	13	2.406049817e+00
barrier	0.01	6	2.406049817e+00

## (a.2) shift\_of\_Ricker数据

和随机数据的计算过程一样，也是运行 `gurobi_computeEMD.py` 得到结果。两种单纯形法的耗时差不多，内点法的耗时稍长；迭代轮数是内点法最少，对偶单纯形法次之，原始单纯形法最多。已知标准答案为 4，4 和算法结果之差就是最后的结果误差，三种算法误差在同一个数量级（ $10^{-7}$ ）；具体来说，对偶单纯形法的误差大于原始单纯形法和内点法。

	CPU time (s)	iters	result	err
primal simplex	0.15	2310	3.999999523e+00	4.77e-7
dual simplex	0.15	1192	3.999999460e+00	5.40e-7
barrier	0.20	178	3.999999526e+00	4.74e-7

## (a.3) DOTmark数据集

需要将计算两张图片A和B之间的Wasserstein距离（Earth Mover's Distance, EMD）转化为题中所给的问题。做法如下：

对于图A中的像素点  $(x_1, y_1)$  和图B中的像素点  $(x_2, y_2)$ ，取二者的欧式距离为cost matrix的元素。因此，对于大小为  $n \times n$  的两张图片， $C \in \mathbb{R}^{n^2 \times n^2}$ 。所搬运的像素量不能超过该点的像素值，因此图A中每个像素点的像素值就是  $\mu \in \mathbb{R}^{n^2}$ ，图B中每个像素点的像素值就是  $\nu \in \mathbb{R}^{n^2}$ 。

实现代码在 `gurobi_DOTmark.py` 中，我们首先用 `init_cost_mat` 和 `init_cost_dict` 两个函数初始化cost matrix。因为cost matrix只和图片大小有关，因此我们用 `init_cost_mat` 和 `init_cost_dict` 将其算好后存下来（`cost_dict_size_32.pkl` 和 `cost_mat_size_32.npy`），之后计算EMD时可直接调用。

计算给定两张图片的EMD由 `compute1EMD` 函数完成，该函数接收三个参数：

- mtd: 使用什么优化方法，0是primal simplex, 1是dual simplex, 2是barrier
- num1: 图片A的编号（我们用0-9代表数据集文件名中1001-1010的编号）
- num2: 图片B的编号

按照gurobi的规范实现即可。需要注意的是像素点的值是正整数，而  $\mu$  和  $\nu$  是概率分布，因此将像素值转换成  $\mu$  和  $\nu$  时需要归一化。

我们在本地测试了 `GRFrough` 数据集、图片大小为  $32 \times 32$  的结果，两两之间计算EMD，共有45组结果，放在 `results/gurobi_GRFrough_32.xlsx` 中，截图显示如下：

primal simplex					dual simplex					barrier				
file1	file2	CPU time	iterations	result	file1	file2	CPU time	iterations	result	file1	file2	CPU time	iterations	result
0	1	2.18	47811	8.97E-01	0	1	1.56	13169	8.97E-01	0	1	7.69	834	8.97E-01
0	2	1.87	52569	7.23E-01	0	2	1.41	8775	7.23E-01	0	2	6.58	835	7.23E-01
0	3	2.10	55757	9.96E-01	0	3	1.61	14013	9.96E-01	0	3	7.23	662	9.96E-01
0	4	2.11	50632	6.81E-01	0	4	1.42	8354	6.81E-01	0	4	7.58	899	6.81E-01
0	5	1.96	48586	8.63E-01	0	5	1.38	9919	8.63E-01	0	5	7.62	705	8.63E-01
0	6	1.93	58019	6.47E-01	0	6	1.43	7668	6.47E-01	0	6	6.80	830	6.47E-01
0	7	1.86	54848	6.79E-01	0	7	1.82	7872	6.79E-01	0	7	7.28	769	6.79E-01
0	8	1.85	44884	5.61E-01	0	8	1.41	8113	5.61E-01	0	8	7.17	677	5.61E-01
0	9	1.68	41986	6.93E-01	0	9	1.40	9204	6.93E-01	0	9	6.92	562	6.93E-01
1	2	2.27	66340	1.04E+00	1	2	1.63	13437	1.04E+00	1	2	7.81	733	1.04E+00
1	3	2.12	66690	9.96E-01	1	3	1.54	12398	9.96E-01	1	3	7.82	635	9.96E-01
1	4	2.07	63904	5.95E-01	1	4	1.42	7611	5.95E-01	1	4	7.17	917	5.95E-01
1	5	2.13	64533	9.90E-01	1	5	1.71	12749	9.90E-01	1	5	7.58	919	9.90E-01
1	6	2.15	66871	1.01E+00	1	6	1.53	12685	1.01E+00	1	6	7.50	713	1.01E+00
1	7	2.04	66170	8.53E-01	1	7	1.43	10348	8.53E-01	1	7	6.48	599	8.53E-01
1	8	2.19	64095	6.88E-01	1	8	1.41	9601	6.88E-01	1	8	7.58	649	6.88E-01
1	9	1.95	57478	6.64E-01	1	9	1.42	8285	6.64E-01	1	9	7.18	940	6.64E-01
2	3	2.02	55984	9.52E-01	2	3	1.47	12439	9.52E-01	2	3	7.96	674	9.52E-01
2	4	1.85	49601	9.13E-01	2	4	1.40	11922	9.13E-01	2	4	6.85	748	9.13E-01
2	5	2.04	61689	6.83E-01	2	5	1.43	9291	6.83E-01	2	5	6.56	586	6.83E-01
2	6	1.94	57694	6.70E-01	2	6	1.40	8305	6.70E-01	2	6	7.60	653	6.70E-01
2	7	1.88	46658	8.10E-01	2	7	1.37	9180	8.10E-01	2	7	7.28	629	8.10E-01
2	8	1.88	48564	8.73E-01	2	8	1.44	10843	8.73E-01	2	8	7.72	967	8.73E-01
2	9	1.95	50505	7.85E-01	2	9	1.53	11123	7.85E-01	2	9	7.32	628	7.85E-01
3	4	1.84	52256	1.14E+00	3	4	1.78	17127	1.14E+00	3	4	8.06	834	1.14E+00
3	5	1.98	61364	8.74E-01	3	5	1.39	9531	8.74E-01	3	5	7.69	1163	8.74E-01
3	6	2.05	64430	1.12E+00	3	6	1.60	14602	1.12E+00	3	6	7.97	674	1.12E+00
3	7	1.86	54136	1.17E+00	3	7	1.45	13764	1.17E+00	3	7	7.35	724	1.17E+00
3	8	1.89	55445	1.10E+00	3	8	1.60	14321	1.10E+00	3	8	7.50	1066	1.10E+00
3	9	1.90	58748	1.01E+00	3	9	1.93	17219	1.01E+00	3	9	7.85	883	1.01E+00
4	5	2.30	74238	9.36E-01	4	5	1.54	12411	9.36E-01	4	5	7.10	847	9.36E-01
4	6	2.23	72545	7.82E-01	4	6	1.42	10180	7.82E-01	4	6	7.16	701	7.82E-01
4	7	2.09	66787	6.36E-01	4	7	1.40	8715	6.36E-01	4	7	7.79	691	6.36E-01
4	8	1.94	58825	5.28E-01	4	8	1.48	6628	5.28E-01	4	8	6.20	658	5.28E-01
4	9	2.01	52488	5.02E-01	4	9	1.34	6872	5.02E-01	4	9	6.37	532	5.02E-01
5	6	1.89	51651	9.07E-01	5	6	1.69	13415	9.07E-01	5	6	6.80	926	9.07E-01
5	7	1.98	62686	9.86E-01	5	7	1.76	14171	9.86E-01	5	7	6.99	578	9.86E-01
5	8	1.83	53761	8.95E-01	5	8	1.67	14195	8.95E-01	5	8	7.50	939	8.95E-01
5	9	1.86	50265	7.61E-01	5	9	1.46	10639	7.61E-01	5	9	6.89	651	7.61E-01
6	7	1.71	46866	5.83E-01	6	7	1.55	7443	5.83E-01	6	7	6.77	667	5.83E-01
6	8	1.91	54230	6.55E-01	6	8	1.50	8861	6.55E-01	6	8	7.97	824	6.55E-01
6	9	1.91	49874	8.74E-01	6	9	1.36	10959	8.74E-01	6	9	7.64	969	8.74E-01
7	8	1.88	50207	6.27E-01	7	8	1.37	7608	6.27E-01	7	8	7.12	621	6.27E-01
7	9	1.94	53142	7.94E-01	7	9	1.59	9842	7.94E-01	7	9	7.04	902	7.94E-01

从result一列可以看到，原始单纯形法、对偶单纯形法和障碍法都能让该问题收敛。两张图像的EMD大致都在 0.5 到 1.2 的范围内。

从迭代轮数上看，原始单纯形法需要的迭代轮数最多，需要约 4 万 - 7.5 万轮。对偶单纯形法次之，需要 1 万轮左右。障碍法所需轮数最少，大部分情况下 1000 轮之内就能收敛。

从CPU时间上来看，对偶单纯形法速度最快，约 1.5 秒计算出结果；原始单纯形法次之，需要 2 秒左右；障碍法耗时最长，需要 7 到 8 秒。

从以上结果可知，障碍法每轮的计算量大、耗时长，故即使迭代轮数少，总耗时量也大。原始单纯形法每轮计算量最小。从总耗时来讲，对偶单纯形法解本问题最快。

需要指出的是，以上的CPU耗时是gurobi自动输出的结果，只包括了 `optimize()` 函数的运行时间。在执行 `optimize()` 函数之前，还有初始化模型的过程，包括初始化待优化变量 `x`、初始化约束条件和初始化目标函数：

```

model = gp.Model(model_name)
model.Params.Method = mtd # 0: primal simplex, 1: dual simplex, 2: barrier, 3:
concurrent
x = model.addVars(coord, vtype=GRB.CONTINUOUS, name="x")
row_sum = model.addConstrs( (x.sum(i, '*') == mu[i] for i in range(COST_SIZE)),
name='row_sum')
col_sum = model.addConstrs( (x.sum('*', j) == nu[j] for j in range(COST_SIZE)),
name='col_sum')
model.setObjective(x.prod(val), GRB.MINIMIZE)

```

这个过程在本数据集上大概会消耗 45 秒时间。

## (b)

### (b.1) ADMM算法实现

#### 理论推导

我们考虑的最优传输问题的定义如下：

$$\min_X \sum_{i,j} C_{i,j} X_{i,j}, \text{ s.t. } X \mathbf{1}_n = \mu, X^T \mathbf{1}_n = \nu, X \geq 0$$

其中  $X, C \in \mathbb{R}^{n \times n}$ ,  $\mu, \nu \in \mathbb{R}^n$ , 我们将  $X, C$  视为维数  $n^2$  的向量, 可将上问题转化为标准的线性规划问题：

$$\min_x c^T x, \text{ s.t. } Ax = b, x \geq 0$$

其中  $x, c$  为  $X, C$  的向量表示形式,  $b^T = (\mu^T, \nu^T)$ ,  $A \in \mathbb{R}^{2n \times n^2}$ ,  $A$  的具体形式为：

$$\begin{pmatrix} \mathbf{1}_n & 0 & \cdots & 0 \\ 0 & \mathbf{1}_n & \cdots & 0 \\ \vdots & \vdots & \ddots & \vdots \\ 0 & 0 & \cdots & \mathbf{1}_n \\ I_n & I_n & \cdots & I_n \end{pmatrix}$$

该线性规划问题的对偶问题为：

$$\max_y b^T y, \text{ s.t. } A^T y + s = c, s \geq 0$$

其中  $y \in \mathbb{R}^{2n}$ ,  $s \in \mathbb{R}^{n^2}$ , 写出对偶问题的增广拉格朗日函数

$$L_t(x, y, s) = -b^T y + x^T (A^T y + s - c) + \frac{t}{2} \|A^T y + s - c\|_2^2$$

基于ADMM的迭代规则, 我们可以显式地写出每一个迭代步骤：

$$\begin{aligned} y^{k+1} &= \arg \min_y L_t(y; x^k, s^k) = -(AA^T)^- ((Ax^k - b)/t + A(s^k - c)) \\ s^{k+1} &= \arg \min_s L_t(s; x^k, y^{k+1}) = \max\{0, c - A^T y^{k+1} - x^k/t\} \\ x^{k+1} &= x^k + t(A^T y^{k+1} + s^{k+1} - c) \end{aligned}$$

因为  $A$  不是满秩, 所以在  $y$  的更新中使用的是  $AA^T$  的伪逆  $(AA^T)^-$ 。

## 具体实现

我们使用python3实现了ADMM算法，矩阵相关运算使用的是numpy库。

理论推导的形式将问题转换为了标准的线性规划问题，但是  $A \in \mathbb{R}^{2n \times n^2}$  维数太大且只有  $2n^2$  个非零值，具体实现的过程中不应该直接使用  $A$  的原始值进行运算。为此我们将与  $A$  相关的运算转换为更加高效的操作。具体的转换和对应代码如下：

- $A$  乘向量化的矩阵，将其转换为对原始矩阵的操作：

$$Ax = \begin{pmatrix} X\mathbf{1}_n \\ X^T\mathbf{1}_n \end{pmatrix}$$

```
def A_mul(x: np.ndarray):  
    return x.sum(axis=1), x.sum(axis=0)
```

- $A$  转置乘  $y$ ，将  $y$  视为两个  $n$  维向量  $p, q$  的拼接：

$$A^T y = \begin{pmatrix} p_1 + q_1 & p_1 + q_2 & \cdots & p_1 + q_n \\ p_2 + q_1 & p_2 + q_2 & \cdots & p_2 + q_n \\ \vdots & \vdots & \ddots & \vdots \\ p_n + q_1 & p_n + q_2 & \cdots & p_n + q_n \end{pmatrix} = (p, p, \cdots, p) + (q, q, \cdots, q)^T$$

```
def AT_mul(y1: np.ndarray, y2: np.ndarray, n: int):  
    return y1.reshape(-1,1)+y2.reshape(1,-1)
```

- $AA^T$  的伪逆，如果运算求解会带来非常明显的精度问题。我们观察了  $AA^T$  及其伪逆的数值结果，可以验证  $AA^T$  及其伪逆的具体形式可以直接如下表示：

$$AA^T = \begin{pmatrix} nI_n & \mathbf{1}_{n \times n} \\ \mathbf{1}_{n \times n} & nI_n \end{pmatrix}$$
$$(AA^T)^- = \frac{1}{4n^2} \begin{pmatrix} 4nI_n - \mathbf{3}_{n \times n} & \mathbf{1}_{n \times n} \\ \mathbf{1}_{n \times n} & 4nI_n - \mathbf{3}_{n \times n} \end{pmatrix}$$

那么  $(AA^T)^-$  与  $y$  相乘的运算可简化为

$$(AA^T)^- y = \frac{1}{4n^2} \begin{pmatrix} 4np + (\sum q_i - 3 \sum p_i) \mathbf{1}_n \\ 4nq + (\sum p_i - 3 \sum q_i) \mathbf{1}_n \end{pmatrix}$$

```
# 迭代更新y的操作  
y1 = (x1 - mu)/t + s1 - c1  
y2 = (x2 - nu)/t + s2 - c2  
y1s = y1.sum()  
y2s = y2.sum()  
y11 = 4*n*y1 - 3*y1s + y2s  
y22 = 4*n*y2 - 3*y2s + y1s
```

## GPU加速

由于直接使用CPU计算速度较慢，我们将代码改成了pytorch的版本，将所有的numpy操作转换成了pytorch中对应的操作。

## (b.2) 实验设置

本实验 numpy 和 torch 的随机种子皆设为 2333。

ADMM算法有 1 个超参数  $t$ ，我们将在 b.4 节中介绍我们搜索超参的情况，b.3 节中我们任选  $t = 0.1$ 。

另外，从 b.4 节的实验过程中我们观察到ADMM每步迭代距离（ $x^k$  和  $x^{k+1}$  的距离）会有较大波动，在其收敛之前可能出现  $\Delta x < 10^{-12}$  的情况，因此我们在本实验中不使用每步迭代距离作为判停方法，而是固定迭代轮数。对 b.3 节小数据集，我们迭代 1 万轮；对 b.4 和 b.5 节中的实验，我们迭代 100 万轮。

## (b.3) 随机生成数据

用 1.a 中相同的随机数据（random\_data 文件夹下）进行实验，目的是为了初步测试算法的正确性。

运行 `admm_computeEMD_torch.py` 可得结果。

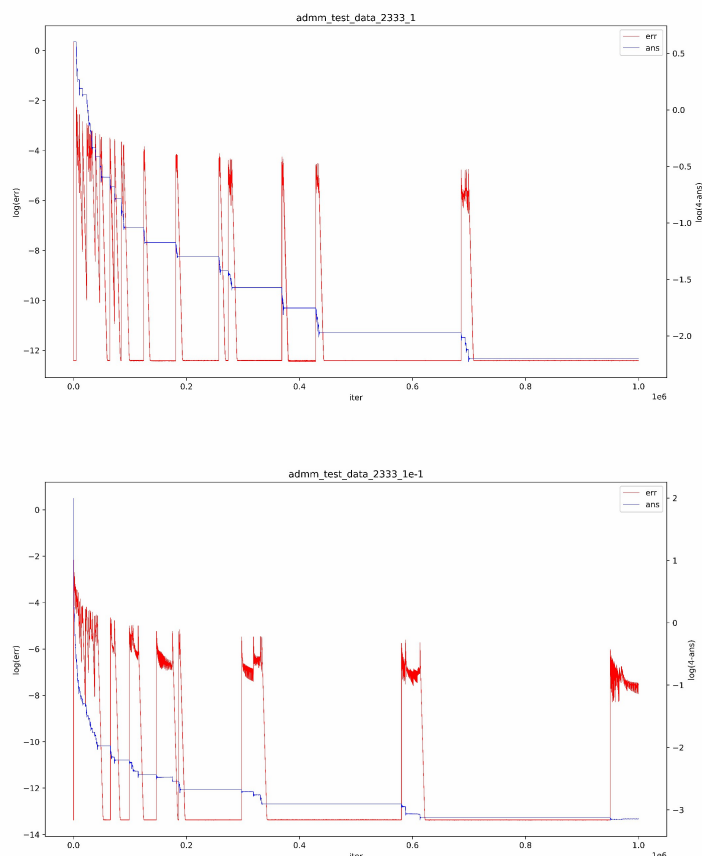
观察到迭代步长在 6140 轮时降至 0（即低于float32精度），将此时的结果作为收敛结果：

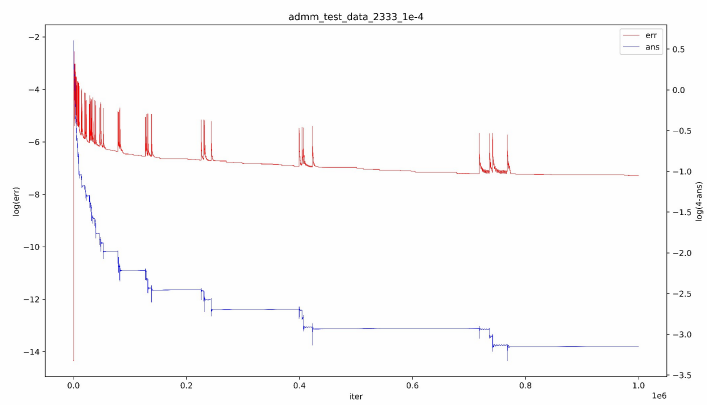
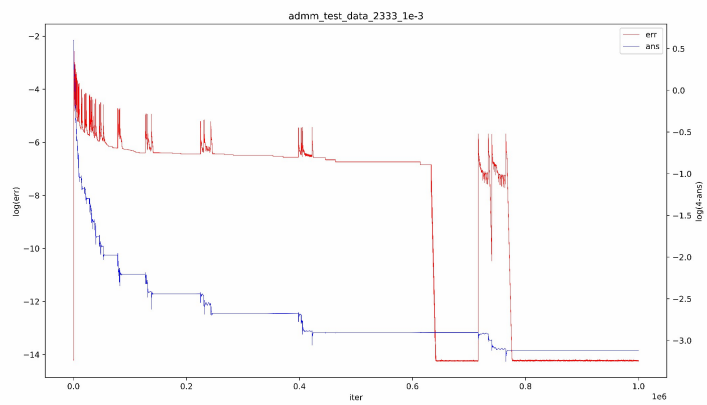
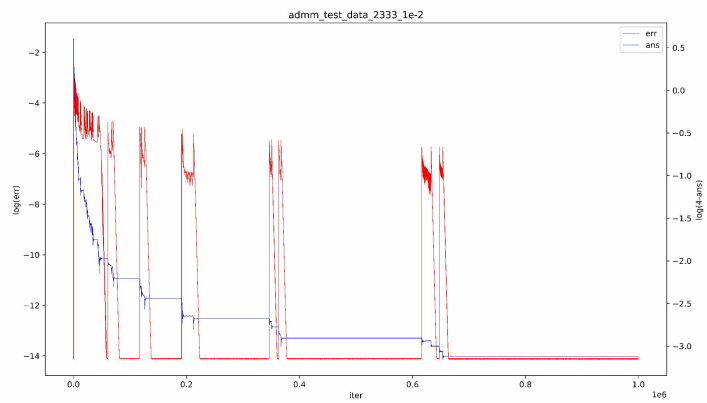
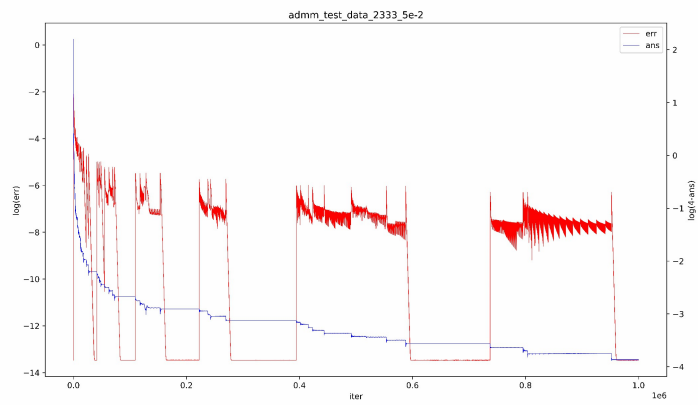
	CPU time (s)	iters	result
ADMM	6.14	6140	2.4060498166914988

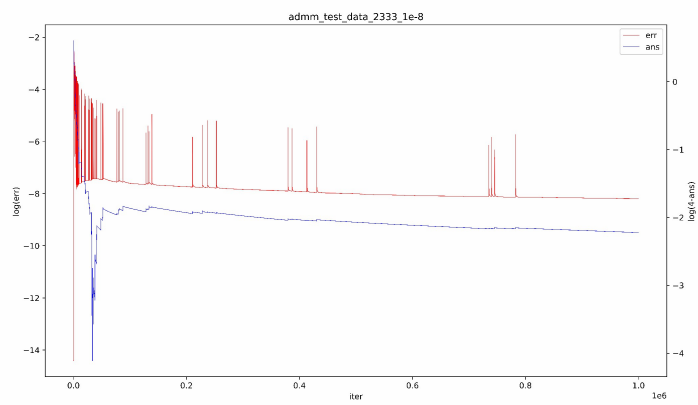
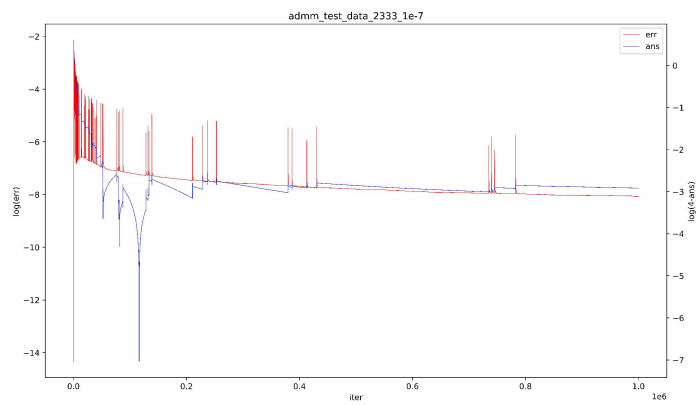
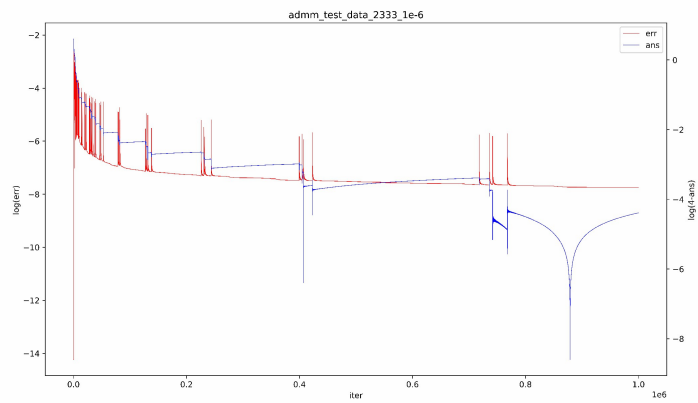
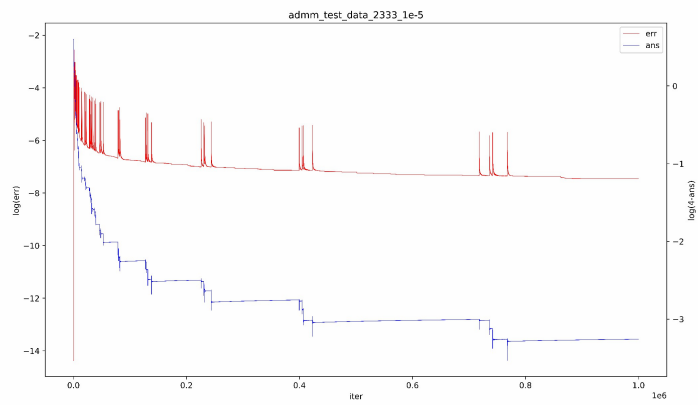
参照 a.1 节中gurobi算出的结果，可知算法收敛，且精度更高。

## (b.4) shift\_of\_Ricker数据

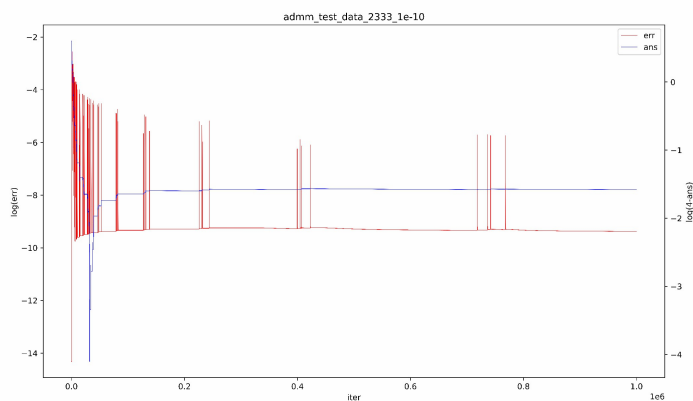
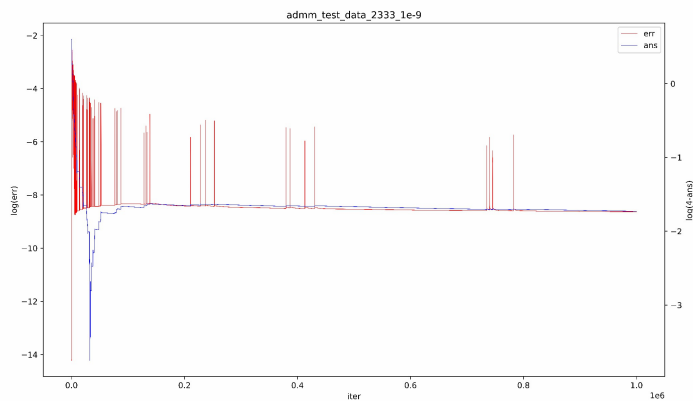
运行 `admm_computeEMD_torch.py` 可得结果。由于已知问题答案为 4，我们迭代 100 万轮，每 10 轮打印出迭代步长和当下结果与 4 的差值（都取对数），取不同的  $t$  绘制图线：











从左到右、从上到下  $t$  依次取  $\{1, 0.1, 0.05, 0.01, 10^{-3}, 10^{-4}, 10^{-5}, 10^{-6}, 10^{-7}, 10^{-8}, 10^{-9}, 10^{-10}\}$  共 12 个值。

从图中我们看到，红线（迭代步长）会有一个“降至  $10^{-12}$  以下  $\rightarrow$  保持低位  $\rightarrow$  跃升至  $10^{-6}$  以上  $\rightarrow$  高位波动  $\rightarrow$  .....”的循环。而每次红线跃升时，就是蓝线（当前目标函数值与标准值之差）下降之时。并且随着  $t$  减小，循环周期变长，即相当于在横向上被“拉长”。

蓝线在  $t$  较小（小于等于  $10^{-6}$ ）时可看到一个深谷，且对随着  $t$  减小，深谷左移，即相当于在横向上被“压缩”。

根据这两个性质，我们希望蓝线的深谷能落在我们的迭代过程内，这也是我们 **b.5** 问取  $t = 5 \times 10^{-6}$  的原因。过小的  $t$  更新过程过快，反而使算法表现变差。

## (b.5) DOTmark数据集

根据 **b.4** 节对  $t$  对 ADMM 表现影响的分析，我们希望蓝线的第 1 个深谷落在第 100 万轮内，因此我们取  $10^{-6}$  和  $10^{-7}$  的中间值： $t = 5 \times 10^{-6}$  来进行 DOTmark 数据集上的实验。

从实验结果来看，45 组数据中的每一组都很好地收敛。

# 第2题

## (a) 问题描述

我们考虑[参考文献1](#)中第4章所提到的熵正则化的 Kantorovich 最优传输问题。

Kantorovich 最优传输问题是一个特殊的线性规划问题，所以应用先进的线性规划问题都可以进行求解。但是面对大规模问题时，常用的线性规划算法（例如内点法）都有较大的局限性。为此我们引入熵正则化的方法来近似求解。熵的具体定义如下所示：

$$H(X) = - \sum_{i,j} X_{i,j} (\log(X_{i,j}) - 1)$$

此时的最优传输问题为：

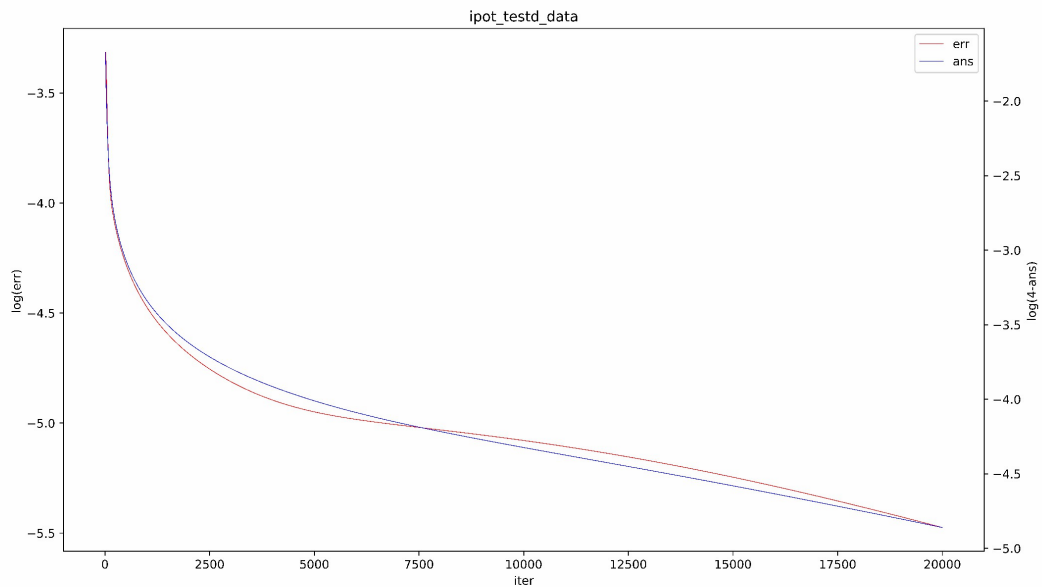
$$\min_X \sum_{i,j} C_{i,j} X_{i,j} - \epsilon H(X), \text{ s.t. } X \mathbf{1}_n = \mu, X^T \mathbf{1}_n = \nu, X \geq 0$$

## (b) 实现算法

我们实现了[参考文献](#)中的IPOT算法，代码的主要部分如下：

```
while itr < 20000:
    itr += 1
    Q = G*X
    for _ in range(L):
        a = mu / np.matmul(Q,b)
        b = nu / np.matmul(Q.T,a)
    x = (Q*b).T*a
```

在test\_data数据集上进行测试，迭代 20000 轮，我们得到了如下结果：



可看到与我们实现的ADMM相比，IPOT算法收敛得快得多也稳定得多，20000 轮时就将与结果得误差缩小至  $10^{-5}$  数量级。